

СПИСОК ЛИТЕРАТУРЫ

- [1] А. В. Приходько, Ю. С. Либерис, А. А. Чеснис, В. А. Барейкис. ФТП, 13, 1650 (1979).
- [2] А. В. Приходько, А. А. Чеснис, В. А. Барейкис. ФТП, 15, 536 (1981).
- [3] H. P. D. Lanyon, W. E. Spear. Proc. Phys. Soc., 77, 1157 (1961).
- [4] J. L. Hartke. Phys. Rev., 125, 1177 (1962).
- [5] J. Viščakas, R. Mačkus, A. Smilga. Phys. St. Sol., 25, 331 (1968).
- [6] Ю. С. Рябинкин. ФТП, 6, 2989 (1964).
- [7] M. B. Colligan, K. M. van Vliet. Phys. Rev., 171, 881 (1968).
- [8] А. Г. Забродский, И. С. Шлимак. ФТП, 16, 2350 (1974).
- [9] G. Juška, K. Arlauskas. Phys. St. Sol. (a), 59, 389 (1980); К. К. Арлаускас. Фототок в аморфном селене в сильных электрических полях. Канд. дис., 129. Вильнюс (1982).
- [10] A. Dargys, A. Česna, J. Kundrotas. Sci. Techn., 7, 210 (1992).

Редактор В. В. Чалдышев

ФТП, том 27, вып. 5, 1993

ИНВЕРСИЯ ЛИНИИ ЦИКЛОТРОННОГО РЕЗОНАНСА ДЫРОК В CdSb, НАБЛЮДАЕМОГО ПО ИЗМЕНЕНИЮ СТАТИЧЕСКОЙ ПРОВОДИМОСТИ

А. И. Раренко, А. В. Сирота, Д. Д. Халамейда

Институт радиофизики и электроники Академии наук Украины,
310085, Харьков, Украина

(Получено 14 августа 1992. Принято к печати 14 декабря 1992)

Исследование магнитополевых зависимостей фотопроводимости миллиметрового диапазона длин волн в CdSb позволяет изучать циклотронный резонанс (ЦР) дырок [1]. При изменении величины постоянного электрического тока, протекающего через образец, линия ЦР превращается из максимума в минимум

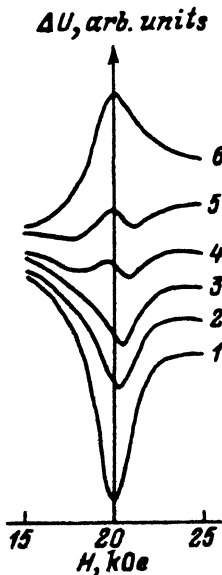


Рис. 1. Инверсия линии ЦР в CdSb μ_p^2 -типа.
Ток увеличивается от 1 к 6. $H \parallel [001]$.

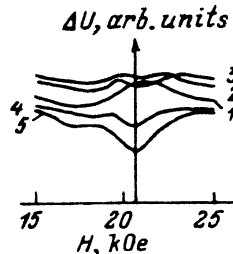


Рис. 2. Инверсия линии ЦР в CdSb μ_p^f -типа.
Ток увеличивается от 1 к 5. $H \parallel [001]$.

или наоборот. В [2] такая трансформация резонансной линии названа инверсией и показано, что она несет дополнительную информацию о свойствах полупроводника. В данной работе проведено изучение двух различных типов инверсий резонансной линии, наблюдавшихся в CdSb.

Исследовались нелегированные монокристаллы CdSb с концентрацией акцепторных центров, обусловленных структурными дефектами кристаллической решетки и компенсированных донорами $N_A - N_D = (1 \pm 2) \cdot 10^{15} \text{ см}^{-3}$. Эксперименты проводились при 4.2 К в скрещенных постоянных электрическом и магнитном полях. Магнитное поле H ориентировалось вдоль трех кристаллографических направлений [100], [010] и [001]. Регистрация фотопроводимости осуществлялась по методике, описанной в [1]. Длина волны падающего на образец излучения составляла 2.2 мм. Изучалась эволюция формы линии ЦР при изменении плотности тока в пределах $0.1 < j < 460 \text{ mA/cm}^2$. При этом рассеиваемая образцом мощность на единицу поверхности была не более $0.5 \text{ Вт}/\text{см}^2$. В каждой из трех ориентаций H с увеличением j имела место двойная инверсия линии ЦР: минимум при малых токах трансформировался в максимум (рис. 1), а затем обратно в минимум (рис. 2). Форма линии в момент первой инверсии (μ_p^c) напоминает линию дисперсии, а величина фотоотклика ΔU всегда возрастала при повышении j . Вторая инверсия (μ_p^s) происходила в следующем порядке. Пока резонансная линия имела вид максимума, ΔU возрастал с повышением j . Начиная с некоторого значения j , в центре максимума появлялся провал, а ΔU с увеличением j падал. В дальнейшем резонансный максимум трансформировался в минимум. Параллельно проводилось исследование температурной зависимости холловской подвижности μ_{100} . С повышением температуры от 4.2 К μ_{100} возрастала, а начиная с 8 ± 10 К (для различных образцов) падала. В интервале 16 ± 95 К $\mu_{100} \sim T^{-1.60}$.

В CdSb фотопроводимость миллиметрового диапазона длин волн при гелиевых температурах определяется фотопроводимостью по валентной [1] и примесной [3] зонам. В этом случае можно написать [2]

$$\Delta U = \frac{El}{\sigma} \frac{\partial \sigma}{\partial \mu} \frac{\partial \mu}{\partial \varepsilon} \Delta \varepsilon,$$

где E — постоянное электрическое поле, l — длина образца, σ — его «температура» проводимость, μ — подвижность, $\Delta \varepsilon$ — изменение энергии носителей при поглощении излучения. Авторы [2] показали, что причиной инверсии линии ЦР является смена знака ΔU в пределах резонансной линии в силу внешнего воздействия (изменения температуры, тока, освещенности образца и т. д.). При заданном направлении E знак в (1) определяется знаками производных $\partial \sigma / \partial \mu$ и $\partial \mu / \partial \varepsilon$. Инверсия линии, обусловленная сменой знака $\partial \sigma / \partial \mu$, в [2] обозначена как μ_p^c , а сменой знака $\partial \mu / \partial \varepsilon$ как μ_p^s (нижний индекс соответствует типу проводимости). Форма резонансной линии в момент инверсии однозначно указывает тип инверсии. В CdSb инверсия при малых j относится к μ_p^c , а при больших к μ_p^s -типу. Инверсия μ_p^s -типа свидетельствует о том, что проводимость в CdSb при гелиевых температурах осуществляется по крайней мере двумя типами дырок и связана с изменением отношения их подвижностей или концентраций. Это могут быть дырки валентной и примесной зон либо различные типы валентных дырок. На возможность последнего случая указывают наши исследования ЦР в CdSb. Инверсия μ_p^s -типа обусловлена сменой механизмов рассеяния или рекомбинации дырок. Более вероятна смена механизма рассеяния импульса. Сценарий эволюции формы линии при μ_p^s -инверсии в CdSb соответствует случаю, когда с увеличением j происходит смена механизма рассеяния для которого $\mu \sim \varepsilon^\alpha$ ($\alpha > 0$) на механизм рассеяния с $\alpha < 0$. Такая смена механизма

рассеяния дырок наблюдается по температурной зависимости μ_{100} . Возрастание μ_{100} с увеличением температуры от 4.2 К до $8 \div 10$ К свидетельствует о том, что импульс дырок рассеивается на заряженных центрах. При дальнейшем повышении температуры происходит смена механизма рассеяния и преобладающим становится рассеяние импульса на акустических фонах. Для этого механизма рассеяния $\mu \sim T^{-1.5}$, что согласуется с экспериментальной зависимостью. По-видимому, это и является причиной μ_p^s -инверсии в CdSb, так как при больших токах не исключен джоулев разогрев образца.

СПИСОК ЛИТЕРАТУРЫ

- [1] Б. Н. Грицюк, А. В. Сирота, Д. Д. Халамейда. Твердотельная электроника миллиметровых и субмиллиметровых волн, 136. Харьков (1988).
- [2] Е. М. Гершензон, Ю. А. Гурвич, С. Л. Орлова, Н. Г. Птицына. ФТП, 10, 193 (1968).
- [3] В. М. Афиногенов, Г. И. Гончаренко, В. И. Трифонов, В. Я. Шевченко. Письма ЖЭТФ, 10, 370 (1969).

Редактор В. В. Чалдышев
